

性間に、関係が大であつて、No.14風箱温度と、No.14風箱とNo.17風箱の温度差を知れば、風箱温度変化の形を大体推定できるようである。

III. 結 言

(1) 当所ドワイトロイド焼結作業では、焼結機上にて焼結鉢の強制空冷をおこなつてゐるゆえ、理想的焼結状態は普通のベルト焼結の場合とはことなり、風箱温度変化の形でB-typeである。

(2) 風箱温度変化の形で、B-typeの出現率増加は生産性を高め、コークス原単位を下げる。C-, D-typeはいずれも出現率増加により、生産性を減じ、コークス原単位を高める。A-typeは配合割合によりことなり、(A)配合では出現率増加により、生産性は下り、(B)配合では逆に増加する傾向が認められた。

(3) 風箱温度と原料水分との間には負の相関が認められ、原料水分の増加により、B-typeの出現率は減少する傾向がある。

(4) (B)配合においては、風箱温度と原料粒度(一48 mesh % in raw mix.)との間には、負の相関も認められた。

(5) No.11, No.14, No.17風箱のうちでもつとも原料水分、原料粒度等に影響されるのは、No.14風箱であつた。

(6) 各風箱温度の間には、互に接近した風箱程関係が大で、正相関が認められた。

(7) No.14風箱温度と、No.14とNo.17風箱の温度差を知ることにより、大体風箱温度変化の形を推定できるようである。

(8) なおこの他、配合プラントにおけるテーブルフィーダー一切出しの変動による原料流量の変動によつても風箱温度は影響されるようであるが、今後さらに詳細に調査する予定で、また風箱内圧力、通気度、コークス粒度等との関係についても調査研究をおこなう予定である。

(17) 焼結原料の粒度管理に関する一考察

Consideration on the Size Control of Sintering Materials

Yasuto Shimomura, et alii.

富士製鉄、広畠製鉄所

工 芹沢 正雄・小田部精一

安永 道雄・工修○下村 泰人

I. 緒 言

最近焼結原料の微細化につれ焼結作業の能率維持のために種々の問題が累積してくるようになつた。この問題に対処するために原料の予備処理としてのセミペレットの拡充と共に、配合原料の粒度構成の面から、その対策についてつぎのように考察して見た。

II. 実際作業結果による増産内容の解析

昭和31年以降当所におけるグリンナワルト式焼結機による一鍋生産量は原料粒度の悪化にもかかわらず、従来の5t台より7t台に上昇してきた。

この原因を調査すると

(1) 31年3月以降の返鉱管理による増産

(2) 32年5月以降の焼結鉢篩分設備の改造による増産

(3) 32年8月以降の新原料床敷による増産

(4) 32年11月以降のセミペレット配合による増産

(5) 33年下期以降の原料粒度管理による増産

などがあげられる。この内容を31年、32年の実績にもとづいて、各要因の影響度について解析して作つたのがFig.1に示した生産量推定図である。

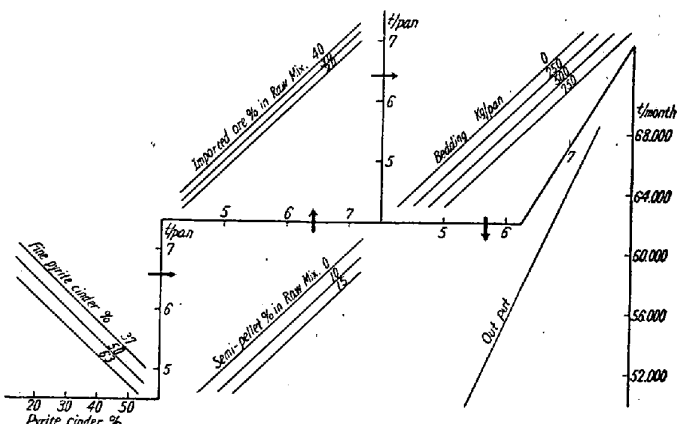


Fig. 1. Graphs to estimate the sinter output under different conditions.

III. 各種原料の粒度構成の解析

Fig. 1より生産性におよぼす最大の要因は、床敷を除けば、ほとんど原料の粒度によることがわかる。この意味においてさらに、まず当所入荷原料の銘柄別粒度分布を調べて見ると、Fig. 2の如くおよそ5つのグループに大別されることがわかつた。この各グループの焼結への向上度を経験上推定すれば、Aはもつとも有効、Bはかなり有効、Cは普通、Dはかなり低下、Eはいちじるしく阻害すると考えられる。これをたしかめるために原料各銘柄の平均粒径と、それを一定厚さに充填した時に通過する風量との関係を計算してみると、Fig. 3の如くなりほぼ近似した結果を示すことがわかつた。

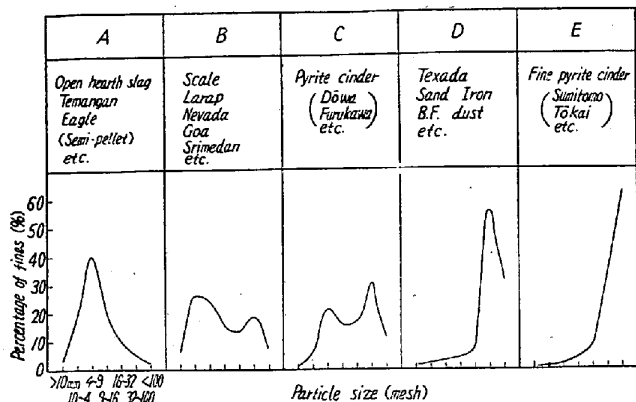
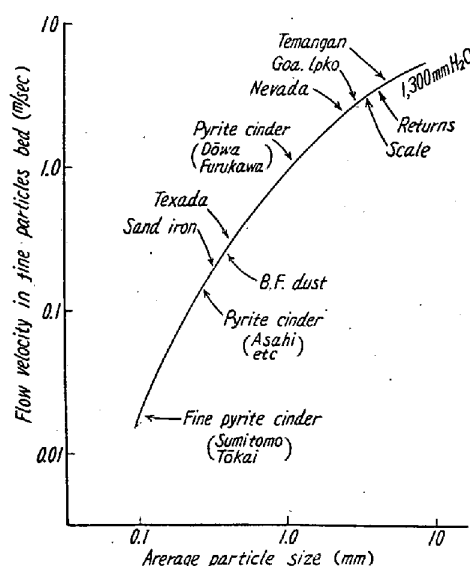


Fig. 2. Particle size distribution of raw materials.



註：図中 Average は Average の誤り

Fig. 3. Relation between the particle size and the flow velocity in packed bed.

IV. 実際作業における粒度構成の影響

Ⅲの結果にもとづき昭和 33 年以降の実績を解析してみた。その結果を Fig. 4 に示す。

Table 1. Comparison of results

(A) Raw materials composition

	Imported ores	Sand iron	Scale	Pyrite cinder	Semi-pellet	Dust	Open hearth slag	Total
1	29	13	10	25	17	6	0	100
2	29	12	10	24	17	4	4	100

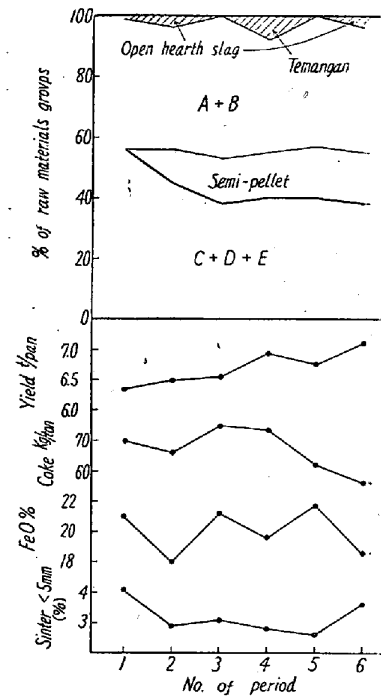
(B) Operation results

	Production t/pan	Fe Production t/pan	Coke kg/ton	FeO %	Sinter <10mm %	Sinter <5mm %	Strength %
1	6.75	4.19	62	21.7	12.2	2.6	80
2	7.13	4.25	56	17.9	11.8	2.8	82.7

すなわち明らかにグループ別配合の多少が生産に直結することがわかつた。ただこの中さらに特異な結果を示すのが平炉滓を配合した場合の生産実績でありその熱的、化学的影响が案外に大きいことが予想される様になつた。

V. 平炉滓配合の影響

Ⅳの想定にもとづきこの結果を確認する意味で工場実験をおこなつて見た。その結果は Table 1 の如くあきらかに平



註：図中 groups は groups の誤り
Fig. 4. Recent operation results and raw material compositions.

炉滓配合の有利性が確認され、グループ別配合の不利な場合の回復手段として考察されるに至つた。

VI. 原料の粒度管理の方法

以上の実績にもとづき、自らつぎのような要因によつて Fig. 1 は改訂されるに至つた。

すなわち

- (1) グループ中 C.D.E ことに D.E. の配合割合
- (2) セミペレット配合割合
- (3) A グループ配合割合
- (4) 平炉滓配合割合
- (5) 床敷使用量

またこれによつて各グループの生産性への比重値の設置が可能となつて來た。

このような各原料の影響度より能率的な焼結結果を得るために、まず各原料の入荷予定量(使用可能量)、高炉用焼結鉱としての適正成分、およびグループ別粒度比重値の3つより焼結原料の適正配合方法が確立されるに至つた。

VII. 結 言

ここ2,3年来返鉱の管理、微粉原料のセミペレット化などの原料粒度の問題を研究することによつて、焼結鉱の増産をおこなつてきた。最近これら原料粒度の問題を総合的に解析し、各要因の影響度を定量的に求め、原料配合を合理的に設定して生産をおこなうと共に、新たに粒度の良い平炉滓等を効果的に使用することによつて成績をあげることができた。

小型焼結機にておこない考察した。

II. 試験方法

数種の鉱石の配合原料としての特性を調査するため、当工場の一ヵ年間の実績配合割合を standard mix. として、これに各試験対象鉱柄を配合増加せしめ、その焼結状況を調査した。調査の対象とする鉱柄は Larap, Texada, 砂鉄、硫酸滓AおよびCの6鉱柄であり、いずれも今後主原料として相当量使用されるものである。試験装置は内径190mm、深さ300mmの小型 Greenawalt式焼結機である。

一般に試験焼結をおこなう場合、重要なものは焼結鉱の強度すなわち shutter test の結果である。当工場では試験焼結の強度についてつきのような強度の測定法をおこなつている。まず全焼成物を鍋から取り出し十分放冷後秤量して W_T とし、これを2mの高さから厚さ20mmの鋼板上に1回落下せしめて5mm上を W_s とする。つぎに W_s を2mの高さから4回落下せしめて10mm上を W_{ST} とする。 W_{ST}/W_T を T. S. Index (試験焼結指数) と称し、この数値は歩留と強度の概念を有するので、この数値を十分大ならしめる焼結条件をもつて可とする。因みに、T. S. Index $50 \pm 3\%$ の場合、工場において学振式落下強度は $83 \pm 3\%$ となる。したがつて T. S. Index = 50% なる焼結条件を適正焼結条件とする。

実験計画は試験対象原料配合量とコークス量を要因とし、繰返し2回の2元配置法を適用した。

水分は飽和水分の60%とし、返鉱は全原料に対し25%を配合した。

III. 各原料の焼結状況の比較

焼結鉱の強度すなわち T. S. Index は原料の特性により差異が認められたが、つきの如く回帰式が得られた。

$$\text{Larap} : y = 0.260x + 16.09z - 12.31$$

$$\text{Dungun} : y = -0.144x + 15.90z - 12.70$$

$$\text{Texada} : y = 0.521x + 16.17z - 14.41$$

$$\text{P.C-A} : y = -0.260x + 15.50z - 11.93$$

$$\text{P.C-C} : y = -0.802x + 15.25z - 13.84$$

$$\text{Sand iron} : y = 0.510x + 15.30z - 11.48$$

ただし有意水準 5%

$$y : \text{T. S. Index}$$

Table 1. Blending of standard mixture.

Larap	Dungun	P.C-A	P.C-C	Sand iron	Domestics	Mill scale	O. H. Slag	Return fines
20%	15	20	15	15	5	5	5	25